

بِنَامِ خَدَا

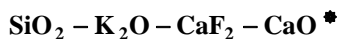


مَرْكُزْ دَانلُودْ رَايْكَانْ
مَهْنَبْسَيْ مَتَالُورْزِيْ وْ موَادْ

www.Iran-mavad.com



بررسی تأثیر ترکیب شیمیایی بر تشکیل فاز میسریت در دستگاه شیشه سرامیک



(۳) حسین سرپولکی

(۲) واهاک مارقوسیان

(۱) محمد تقی همدانی

چکیده

میسریت یک کائی سیلیکات کاسیم-پتاسیم است که به روش شیشه سرامیک سنتز می‌شود. این ترکیب دارای ساختار سیلیکات زنجیره‌ای بوده و جزو خانواده‌ی شیشه سرامیک‌های چقرمه به حساب می‌آید. در این تحقیق، عوامل مؤثر بر تشکیل فاز میسریت در نظر گرفته شده‌اند، و نقش افروزنده‌های Al_2O_3 , CeO_2 , P_2O_5 , B_2O_3 در آن بررسی شد. نتایج نشان دادند که حضور CeO_2 تشکیل فاز میسریت را تسريع می‌کند، ولی P_2O_5 مانع تشکیل آن می‌شود. با این حال، حضور آن باعث ایجاد فاز فلورپاتیت با خواص زیست سازگاری می‌شود. از سوی دیگر، حضور افروزنده‌هایی نظیر Al_2O_3 و B_2O_3 در کنار CeO_2 ، به افزایش فاز میسریت منجر خواهد شد. در نهایت، نمونه‌های مختلفی با حضور مقادیر متفاوتی از فلور تهیه شدند و تشکیل فاز میسریت در آن‌ها بررسی شد. نتایج ریزساختاری نشان دادند که میسریت تشکیل شده دارای ساختار میله‌ای در هم تنیده به قطر $5 \mu\text{m}$ و طول حدود $60 \mu\text{m}$ است. این ریزساختار باعث افزایش استحکام مکانیکی ترکیب شده.

واژه‌های کلیدی میسریت، شیشه سرامیک، فلوریت، سیلیکات زنجیره‌ای.

Study of the Influence of Chemical Composition on Miserite Formation in Glass Ceramic System $\text{SiO}_2\text{-K}_2\text{O}\text{-CaF}_2\text{-CaO}$

M.T.Hamedani

V.K. Marghussian

H. SarPoolaky

Abstract

Miserite is a kind of potassium-calcium silicate mineral, which can be synthesized by glass-ceramic route. This compound has a chain silicate structure, and is considered to be one type of the tough glass ceramic materials. In the present study, the effects of some important parameters on the formation of Miserite phase were studied, and the influence of CeO_2 , P_2O_5 , Al_2O_3 and B_2O_3 additives was investigated. The results showed that CeO_2 accelerated the formation of Miserite, whereas P_2O_5 suppressed the phase formation. However, it led to the formation of Fluorapatite, which is a bioactive phase. On the other hand, the presence of Al_2O_3 and B_2O_3 additives along with CeO_2 resulted in an increase in the Miserite formation. Finally, some test samples with different amounts of fluor were produced, and the formation of Miserite in these samples was investigated. The results of microstructural examinations showed that the produced Miserite has interlocking rod shape crystals with the diameter and length of 5 and 60 microns, respectively. This microstructure caused the strength of the compound to increase.

Key Words Miserite, Glass ceramic, Fluorite, Chain silicate.

* نسخه‌ی نخست مقاله در تاریخ ۸۹/۶/۹ و نسخه‌ی پایانی آن در تاریخ به دفتر نشریه رسیده است.

(۱) نویسنده‌ی مسؤول: استادیار، دانشکده مهندسی مکانیک، دانشگاه تبریز

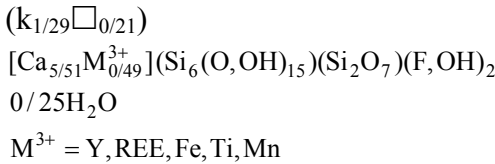
(۲) استاد، دانشکده مهندسی مواد و متالورژی، دانشگاه علم و صنعت ایران

(۳) دانشیار، دانشکده مهندسی مواد و متالورژی، دانشگاه علم و صنعت ایران

به گونه‌ای به یکدیگر متصل شده‌اند که یک لوله‌ی بسته‌ی $[{\text{Si}_{12}\text{O}_{30}}]^{12-}$ در امتداد محور Z ایجاد می‌کنند. این لوله دارای تقارن مرکزی است و یک تقارن کامل mmm را نشان می‌دهد. دیواره‌ی این لوله‌ها دارای چند وجهی‌های Ce, Mn, F, Ca شامل هشت وجهی و چند وجهی‌های هفت گوشه می‌باشد [۲].

نوع دوم رادیکال‌های سیلیکاتی از آرتو گروه‌های دوتایی $[{\text{Si}_2\text{O}_7}]^6-$ تشکیل شده است. این رادیکال‌های سیلیکاتی با چند وجهی‌های دیواره‌ی لوله اتصال برقرار می‌کنند. در یک سلول واحد مشخص، محور X درون یک لایه قرار می‌گیرد. نقش انواع رادیکال‌های سیلیکاتی، اتصال لوله‌های مجاور به یکدیگر است. این رادیکال‌ها لایه‌های مجاور را در جهت z به یکدیگر متصل می‌کنند [۲].

شیمی مربوط به بلور میسریت نیز پیچیده است. فرمول ایده آل آن به‌شکل زیر است:



که در آن، علامت مریع (\square) نشان‌دهنده‌ی یک جای خالی یا مکان مجازی درون ساختار است. این مکان هشت وجهی به عنوان یک تله‌ی ساختاری عمل کرده و فضایی را برای گونه‌های اتمی فرعی به منظور موازنی با ربارکتیکی فراهم می‌کند [۳].

ترکیب شیمیایی این کانی بر حسب درصد وزنی به صورت زیر است:

$\text{SiO}_2 = 50.61$	$\text{CaO} = 32.66$	$\text{MgO} = 0.08$
$\text{Al}_2\text{O}_3 = 0.05$	$\text{TiO}_2 = 0.05$	$\text{La}_2\text{O}_3 = 0.09$
$\text{MnO} = 0.24$	$\text{Y}_2\text{O}_3 = 2.1$	$\text{F} = 1.1$
$\text{Pr}_2\text{O}_3 = 0.66$	$\text{Nd}_2\text{O}_3 = 1.36$	$\text{Na}_2\text{O} = 0.06$
$\text{H}_2\text{O} = 5.7$	$\text{K}_2\text{O} = 6.59$	$\text{FeO} = 0.32$
$\text{Ce}_2\text{O}_3 = 1.06$	$\text{L.O.I} = 6.8$	

مقدمه

شیشه سرامیک‌ها جزو مواد چندبلوری هستند که با تبلور کنترل شده‌ی شیشه تهیه می‌شوند. بیشتر محصولات شیشه سرامیک‌های تجارتی با فرایندهای شیشه‌سازی اتوماتیک و به‌شکل بدنه‌های شیشه‌ای ساخته می‌شوند، و به وسیله‌ی عملیات حرارتی به محصول بلوری مناسب تبدیل می‌شوند. بدنه‌ی شیشه معمولاً برای جوانه‌زنی درونی در دمای پایین نگهداری می‌شود. اگر چند برخی از ترکیبات شیشه‌ای خود جوانه‌زا هستند، اما در بسیاری از موارد از جوانه‌زاهای مشخص مانند تیتانیت‌ها، فلزات و یا فلوریدها برای جداسازی فازی و تقویت جوانه‌زایی حجمی استفاده می‌شود.

موادی با جهت‌گیری اتفاقی بلوری به‌شکل میله‌های در هم تنیده، اساس ریزساختار چندین خانواده از شیشه سرامیک‌های چقرمه، مانند انستابیت، $(\text{K}_{3-2}\text{Na}_{4-3}\text{Ca}_5\text{Si}_{12}\text{O}_{30}\text{F}_4)$ ، کاناسیت (MgSiO_3)، ریچتریت پتاسیم ($\text{KNaCaMg}_5\text{Si}_8\text{O}_{22}\text{F}_2$) و سیلیکاتی، را تشکیل می‌دهند. این شیشه سرامیک‌ها دارای ساختار سیلیکات زنجیره‌ای هستند. ساختار بلوری آن‌ها از یک یا چند زنجیره‌ی چهار وجهی سیلیکاتی تشکیل شده است. این ساختار باعث افزایش استحکام مکانیکی آن‌ها می‌شود [۱].

میسریت شیشه سرامیک بسیار مهمی در این گروه است، و به این دلیل در سال‌های اخیر توجه زیادی به آن شده است. این کانی، یک سیلیکات کلسیم-پتاسیم با ساختار بلوری سه‌مایلی ساده می‌باشد، و معمولاً به صورت رشته‌ای و تیغه‌ای در کربناتیت‌ها و دیگر سنگ‌های قلیایی و در شیل‌های هوازده‌ی حاصل از این سنگ‌ها یافت می‌شود. این کانی اغلب با ولاستونیت همراه است. ساختار پیچیده‌ی آن شامل دو نوع رادیکال سیلیکاتی است. نوع اول شامل چهار زنجیره‌ی سه عضوی مربوطه به چهار وجهی‌های SiO_4 است. این چهار زنجیره از سه رأس

می‌شوند.

مواد و روش تحقیق

در تحقیق حاضر، از روش شیشه سرامیک برای سنتز و ساخت میسریت استفاده شده است. ترکیب شیمیایی نمونه‌های مختلف در جدول (۱) آورده شده است. ترکیب L_1 بر مبنای فرمول پایه‌ی میسریت P_2O_5 انتخاب شده است. در ترکیب L_1 ، ۲ درصد SiO_2 جای‌گزین شده است، و به این ترکیب ترکیب L_2 ساخته شده است. ترکیب L_3 با افزودن ۲ درصد CeO_2 به جای CaO ساخته شده است. افزون بر این، ترکیب L_4 با استفاده از ۲ درصد SiO_2 به جای CeO_2 و ۲ درصد CaO ساخته شده است، و در نهایت، ترکیب L_5 با افزودن ۲ درصد CeO_2 به جای CaO و ۲ درصد B_2O_3 به همراه Al_2O_3 به جای SiO_2 ، به دست آمد. مواد اولیه‌ی مورد استفاده برای تأمین اکسیدهای تشکیل‌دهنده‌ی ترکیب عبارت بودند از: $CaCO_3$ ، SiO_2 و $Al(OH)_3$. این مواد از شرکت میرک، با درجه‌ی خلوص بالاتر از ۹۹/۹ درصد و اندازه دانه‌ی در حد میکرون، خریداری شد.

ابتدا آمیز شیشه به میزان ۵۰۰ گرم در هر بار با استفاده از ترازوی کفه‌ای دیجیتال به دقّت ۰/۰۱ گرم تهیه شد و پس از اختلاط کامل، در بوته‌ی پلاتینی دردار ریخته شد. مذاب شیشه با حرارت دهی در دمای $1450^{\circ}C$ به مدت ۳۰ دقیقه درون کوره‌ی الکتریکی تهیه شد. پس از آن، مذاب حاصل درون قالب فلزی پیش‌گرم شده ریخته‌گری شد. به منظور تنفس زدایی، ماده‌ی ریخته شده در کوره‌ی مافلی به مدت یک ساعت در دمای $600^{\circ}C$ نگهداری شده و سپس تا دمای محیط خنک شد.

همان‌گونه که مشاهده می‌شود، در این کانی عناصر فرعی متعددی (به خصوص عناصر نادر خاکی) وجود دارند. افزون بر این، معمولاً در تمام بررسی‌های ترکیب شیمیایی میسریت، پتاسیم و کلسیم بیشتر و SiO_2 کمتر از حالت تئوری مشاهده می‌شود [۴]. جای‌گزینی عناصر خاکی نادر با کلسیم در کانی میسریت رایج است. این یک جای‌گزینی ساده است، زیرا شعاع یونی عناصر خاکی سه ظرفیتی (به‌ویژه عناصر خاکی نادر سبک مانند Pr^{3+} ، La^{3+} ، Ce^{3+} ، Eu^{3+}) نزدیک به شعاع یونی Ca^{2+} است [۵,۶] پینکنی و بیل در سال ۱۹۹۹ با سنتز این ترکیب به روش شیشه سرامیک نشان دادند که این ترکیب از استحکام و چقرمگی شکست بالایی برخوردار است. آن‌ها استحکام مکانیکی این ترکیب را تا ۲۳۵ MPa و چقرمگی شکست آن را نیز تا $3/5 MPa.m^{1/2}$ گزارش کردند [۷]. با بررسی خواص این ترکیب می‌توان احتمال استفاده از آن به عنوان یک ماده‌ی زیست سازگار و جای‌گزین استخوان در بدن انسان را در نظر گرفت. استحکام و چقرمگی شکست بالای این ترکیب، آن را به جای‌گزین بسیار مناسبی تبدیل کرده است [۷]. از آنجا که تحقیقات انجام شده بر روی میسریت مراحل اولیه‌ی خود را طی می‌کند، منابع مطالعاتی بسیار محدودی در این زمینه وجود دارند. در مهم‌ترین پژوهش انجام گرفته توسط بل و همکاران، تنها تأثیر جوانه‌زاهای در ترکیب‌های مختلف با میزان ثابت فلوره بررسی شده است [۷]. دست‌آوردهای این پروژه پیرامون تأثیر هم‌زمان جوانه‌زاهای و فلوره، تاکنون در هیچ مقاله‌ی علمی به چاپ نرسیده است. بررسی‌های آزمایشگاهی این ترکیب به عنوان ماده‌ی زیست سازگار، هم‌اکنون به وسیله‌ی گروه تحقیقاتی عنوان شده در ابتدای مقاله در حال انجام است. در این مقاله، عوامل مؤثر بر تشکیل شیشه سرامیک میسریت معرفی

جدول ۱ ترکیب شیمیایی شیشه‌های مختلف

P ₂ O ₅	Al ₂ O ₃	B ₂ O ₃	CeO ₂	CaF ₂	K ₂ O	CaO	SiO ₂	درصد وزنی کد نمونه
-	-	-	-	۱۳	۷/۶	۲۲	۵۷/۴	L ₁
۲	-	-	-	۱۳	۷/۶	۲۲	۵۵/۴	L ₂
-	-	-	۲	۱۳	۷/۶	۲۰	۵۷/۴	L ₃
۲	-	-	۲	۱۳	۷/۶	۲۰	۵۵/۴	L ₄
-	۰/۶	۲	۲	۱۳	۷/۶	۲۰	۵۴/۸	L ₅

20 در گستره‌ی Philips XPERT و پرتوی CoK_α، در گستره‌ی ۴۰° تا ۷۰°، تهیه شدند. شناسایی الگوهای با استفاده از کارت‌های مرجع JCPDS انجام گرفت.

جدول ۲ شیشه میسریت با درصدهای مختلف فلوریت

درصد فلوریت باقیمانده در شیشه	کد نمونه
۱/۱۶	L ₅
۳/۱۶	L ₆
۴/۷۷	L ₇
۶/۶۳	L ₈
۸/۴	L ₉

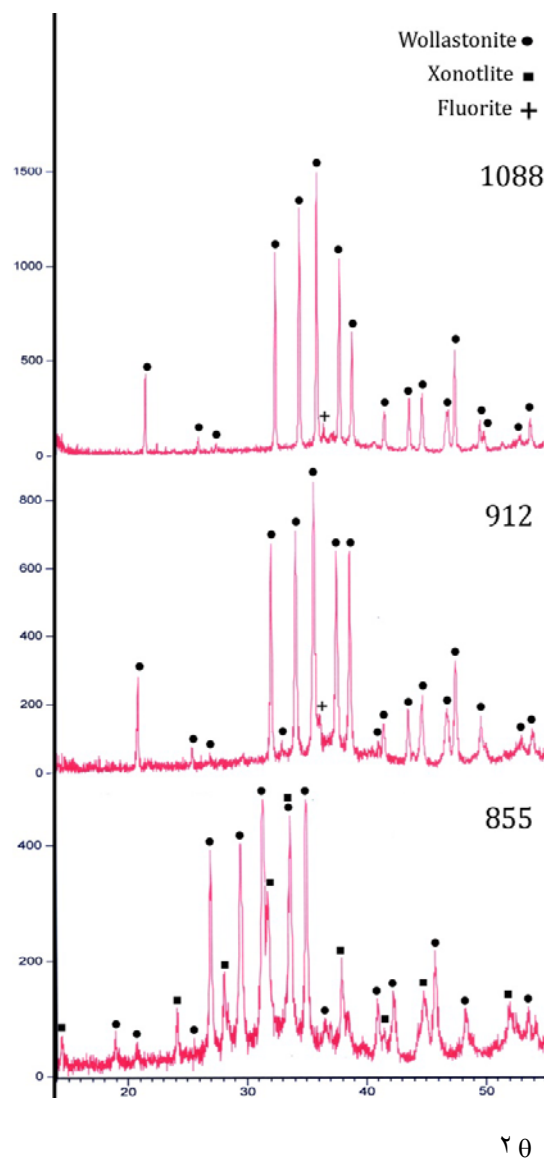
به منظور بررسی نقش میزان فلوریت در تشکیل فاز میسریت، ترکیب L₅ با بیشترین میزان میسریت و درصدهای مختلف فلوریت تهیه شد. با این حال، با توجه به فرآربودن فلوریت حین تشکیل مذاب، محاسبات انجام شده برای تنظیم میزان فلوریت نشان‌دهنده‌ی میزان فلوریت باقیمانده در ترکیب نخواهد بود. به این دلیل، میزان فلوریت در نمونه‌ها پس از فرایند تولید به وسیله‌ی دستگاه بررسی یونی JEMWAY ساخت کشور انگلستان اندازه‌گیری شد. در جدول (۲)، ترکیب L₅ حاوی درصدهای مختلف فلوریت نشان داده شده است. شناسایی ریزساختار نمونه‌ها با استفاده از میکروسکوپ الکترونی روبشی مدل XL30 ساخت شرکت فیلیپس انجام شد.

برای بررسی رفتار تبلور شیشه‌ها و تعیین دمای جوانه‌زنی و تبلور، از دستگاه بررسی تغییرات حرارتی (DTA) هم‌زمان نوع STA 409PC ساخت شرکت نیچ (NICHIRY) آلمان استفاده شد. نمونه‌های شیشه به وزن ۶۲ میلی‌گرم با سرعت گرمایش ۱۰ °C/min از دمای محیط تا دمای ۱۲۰۰ °C درون بوته‌ی آلومینای با استفاده از پودر آلومینا به عنوان ماده‌ی مرجع، حرارت داده شدند. پودرهای شیشه مورد استفاده دارای اندازه ذرات ۰/۵ تا ۰/۶ میلی‌متر بودند.

برای انجام عمل تبلور و تبدیل شیشه به شیشه سرامیک، فرایند عملیات حرارتی با استفاده از نتایج بررسی تغییرات حرارتی هر یک از نمونه‌ها و در دو مرحله، شامل جوانه‌زنی در دمای $\frac{T_g + T_d}{2}$: دمای انتقال به شیشه، و T_d: دمای نرم شدنگی) و رشد در دمای تبلور T_p مربوط به هر نمونه انجام شد [۸]. کوره‌ی مورد استفاده برای این منظور از نوع الکتریکی با سرعت حرارتی ۱۰ °C/min بود. برای تمامی نمونه‌ها، زمان نگهداری در دمای جوانه‌زنی و رشد به ترتیب ۲ و ۴ ساعت انتخاب شد.

برای تعیین فازهای بلوری در نمونه‌های شیشه سرامیک، ابتدا آن‌ها را پس از عملیات حرارتی درون هاون عقیق به شکل پودر درآورده و پس از آن، از درون الک ۶۳ میکرونی عبور داده شدند. تحلیل‌های فازی با استفاده از روش پراش اشعه (XRD) XRD انجام شد. الگوهای پراش اشعه X با استفاده از دستگاه مدل

Counts

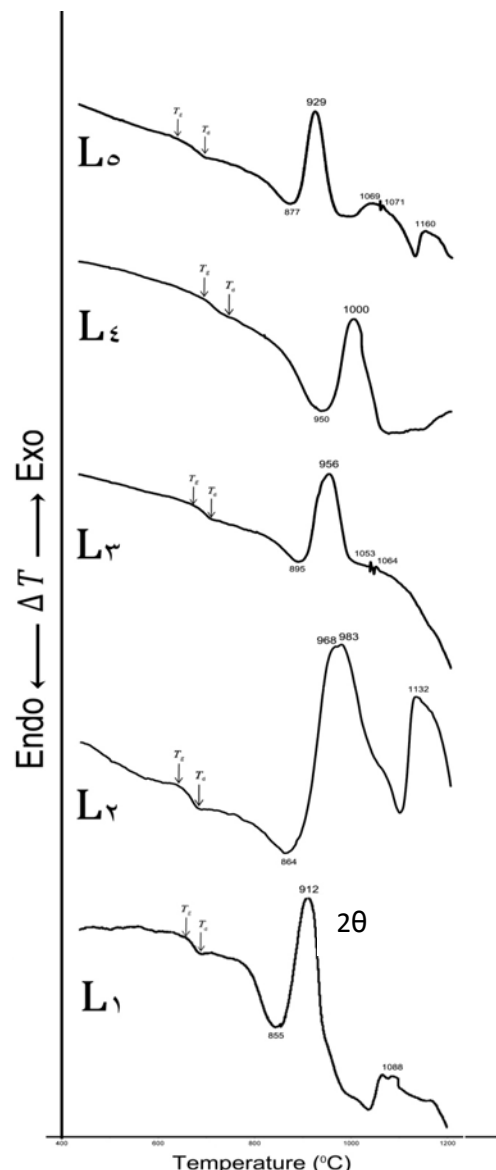


شکل ۲ طرح پراش اشعه X برای نمونه‌ی L_1 در دمای‌های $855\text{ }^{\circ}\text{C}$ ، $912\text{ }^{\circ}\text{C}$ و $1088\text{ }^{\circ}\text{C}$

در شکل (۲)، طرح پراش اشعه X مربوط به نمونه‌ی L_1 در دمای شروع تبلور از فاز شیشه، دمای اوج تبلور اولیه، و دمای اوج تبلور ثانویه (دماهای به ترتیب $855\text{ }^{\circ}\text{C}$ ، $912\text{ }^{\circ}\text{C}$ و $1088\text{ }^{\circ}\text{C}$) نشان داده شده است. با توجه به نتایج این شکل، فازهای ولاستونیت ($\text{Ca}_6\text{Si}_6\text{O}_{17}\text{F}_2$) و زنوتلیت (CaSiO_3) در دمای $855\text{ }^{\circ}\text{C}$ مشاهده می‌شوند. شکل پراش در این دما نشان می‌دهد که نمونه‌ی مذکور دارای میزان بالایی از فاز

نتایج و بحث

نتایج بررسی‌های تغییرات حرارتی مربوط به نمونه‌های L_1 تا L_5 در شکل (۱) نمایش داده شده است. دمای انتقال به شیشه (T_g) و دمای نرم شدنگی (T_d) مربوط به این نمونه‌ها و نیز، دماهای تبلور و جوانهزنی برای هر یک از نمونه‌ها در جدول (۳) آورده شده است.



شکل ۱ نمودار تحلیل تغییرات حرارتی (DTA) برای نمونه‌های L_1 تا L_5 سرعت حرارت‌دهی $10\text{ }^{\circ}\text{C}/\text{min}$

دماهای 895°C دیده می‌شود. طرح پراش مربوط به این دما نیز نشان می‌دهد که میزان زیادی فاز شیشه وجود دارد. در دمای 956°C , فازهای ولاستونیت و میسریت در این نمونه دیده می‌شوند، و اثری از فاز زنوتیلت در در آن مشاهده نمی‌شود. افزون بر این، طرح‌های پراش این نمونه در دماهای 1053°C و 1064°C نشان می‌دهند که فازهای ولاستونیت و میسریت همچنان پایدار می‌مانند.

در شکل (۵)، طرح پراش اشعه X مربوط به نمونه‌ی L_4 در دماهای شروع تبلور و حداقل دمای اوج (950°C و 1000°C) مشاهده می‌شود. همان‌گونه که مشاهده می‌شود، فازهای ولاستونیت و فلوروآپاتیت در دمای 950°C پایدارند، و ولاستونیت فاز اصلی در این شرایط است. افزون بر این، این دو فاز همچنان در دمای 1000°C حضور دارند، و به نظر می‌رسد که بر شدت پیک‌های ولاستونیت افزوده شده باشد.

شکل (۶) طرح پراش اشعه X مربوط به نمونه‌ی L_5 را در دماهای 877°C , 929°C , 983°C , 1065°C و 1132°C نشان می‌دهد. فازهای زنوتیلت و ولاستونیت در دمای 877°C قابل مشاهده‌اند. در دمای 929°C , فازهای ولاستونیت و میسریت مشاهده می‌شوند، ولی هیچ اثری از فاز زنوتیلت دیده نمی‌شود. فازهای ولاستونیت و میسریت همچنان در دمای 1065°C و 1132°C پایدارند. در دمای 1160°C ، تنها فازهای ولاستونیت و فلوریت مشاهده می‌شوند، و هیچ اثری از فاز میسریت نیست.

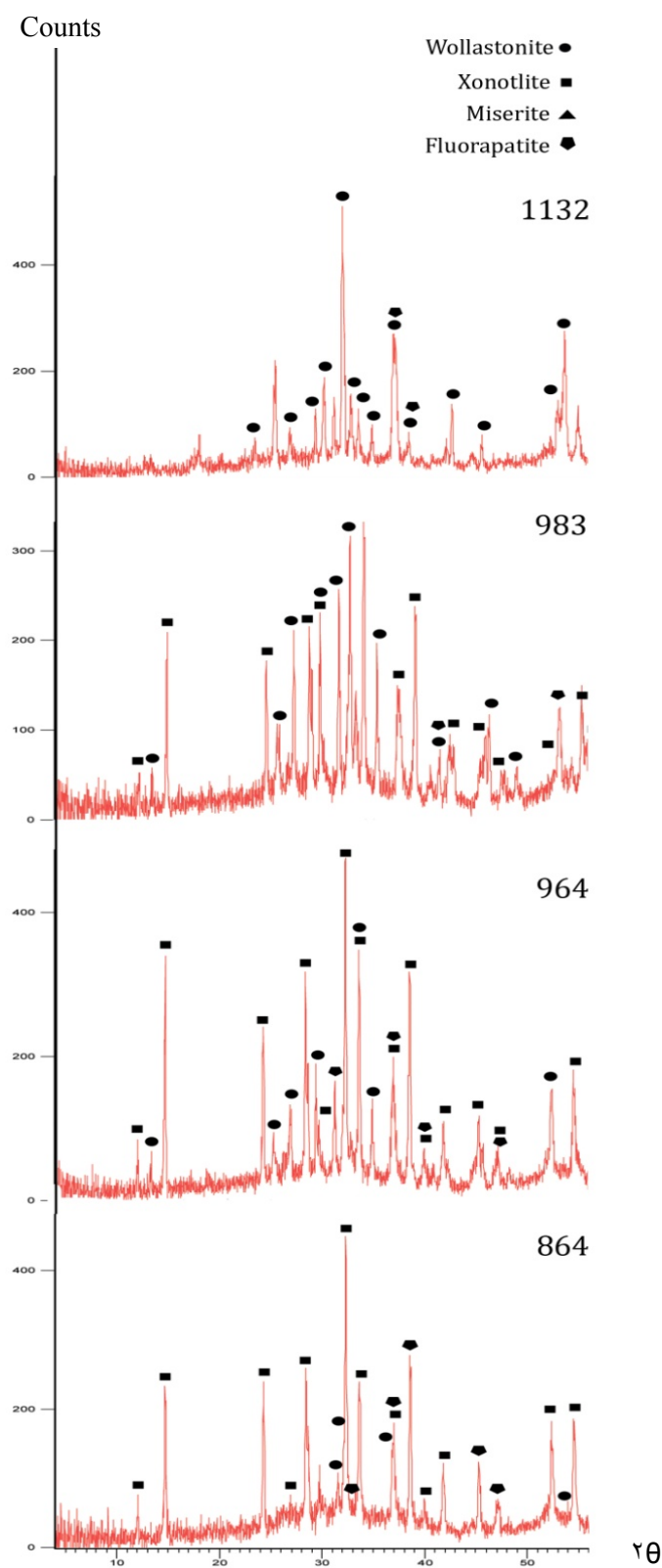
شیشه است [۹]. طرح پراش اشعه X مربوط به این نمونه در دمای 912°C در شکل (۲) نشان می‌دهد که فاز ولاستونیت به عنوان فاز پایه و فاز فلوریت (CaF_2) به میزان کم در این نمونه وجود دارد. افزون بر این، طرح پراش اشعه X این نمونه در دمای 1088°C نشان می‌دهد که تغییری در فازها به وجود نیامده است، اما شدت پراش فاز ولاستونیت به میزان زیادی افزایش یافته است، به گونه‌ای که به نظر می‌رسد از میزان فاز شیشه کاسته شده باشد.

نمودارهای پراش اشعه X مربوط به نمونه‌ی L_2 در دماهای 864°C , 968°C , 983°C و 1132°C در شکل (۳) نشان داده شده‌اند. با توجه به این نمودارها، در دمای 864°C فازهای زنوتیلت، ولاستونیت و فلوروآپاتیت ($\text{Ca}_5\text{F}(\text{PO}_4)_3$) مشاهده می‌شوند، و زنوتیلت فاز اصلی در آن است. در دمای 968°C فازهای زنوتیلت، ولاستونیت و فلوروآپاتیت همچنان قابل مشاهده هستند. در دمای 983°C ، همان سه فاز قبلی مشاهده می‌شوند، اما از شدت پیک‌های فاز زنوتیلت کاسته شده و به شدت پیک‌های فاز ولاستونیت افزوده شده است. در دمای 1132°C ، تنها فازهای ولاستونیت و فلوروآپاتیت قابل مشاهده‌اند، و ولاستونیت فاز اصلی محسوب می‌شود. اثری از فاز زنوتیلت در این دما دیده نمی‌شود.

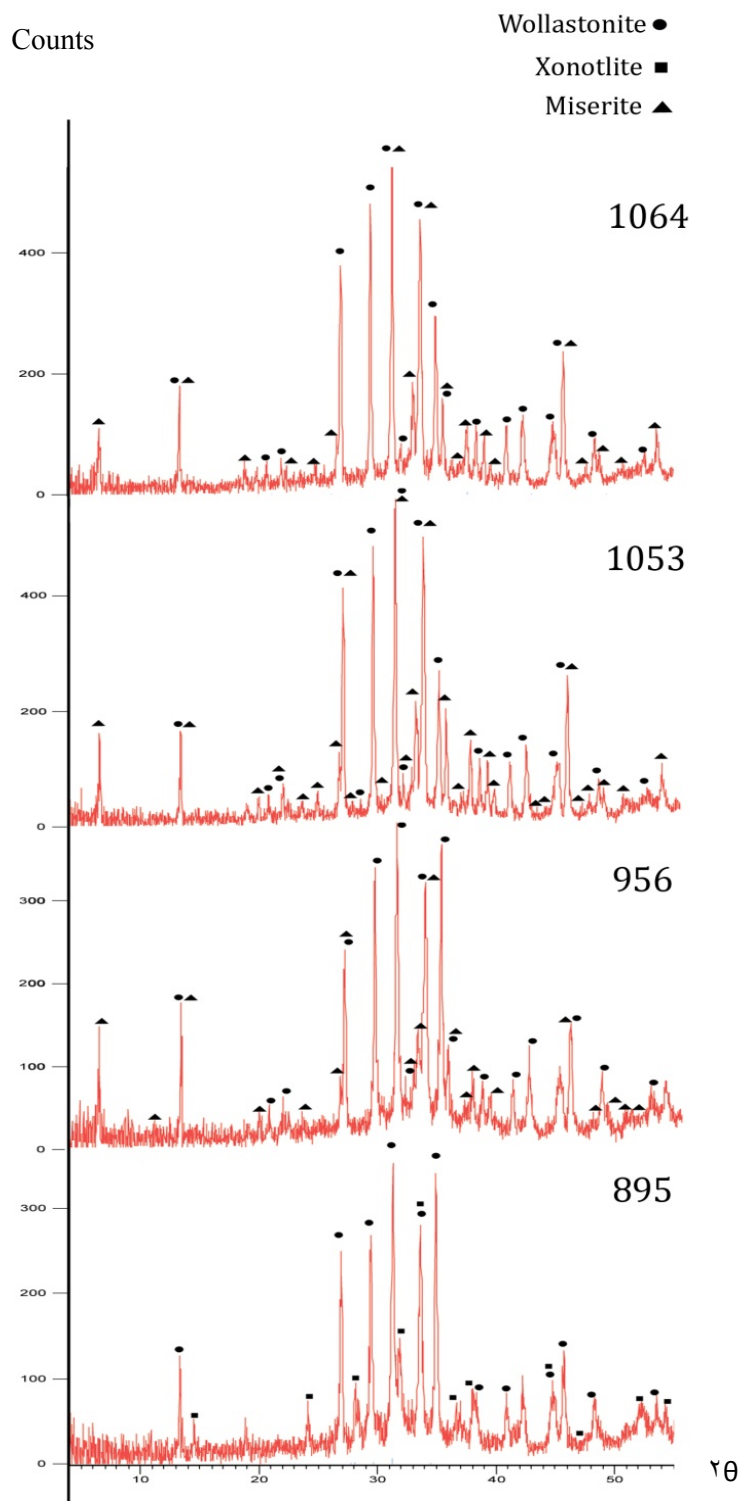
انواع فازهای موجود در نمونه‌ی L_3 در دماهای 895°C , 956°C , 1053°C و 1064°C در شکل (۴) نشان داده شده‌اند. فازهای ولاستونیت و زنوتیلت در

جدول ۳ دمای T_g و دمای جوانه‌زنی و تبلور شیشه‌های مختلف

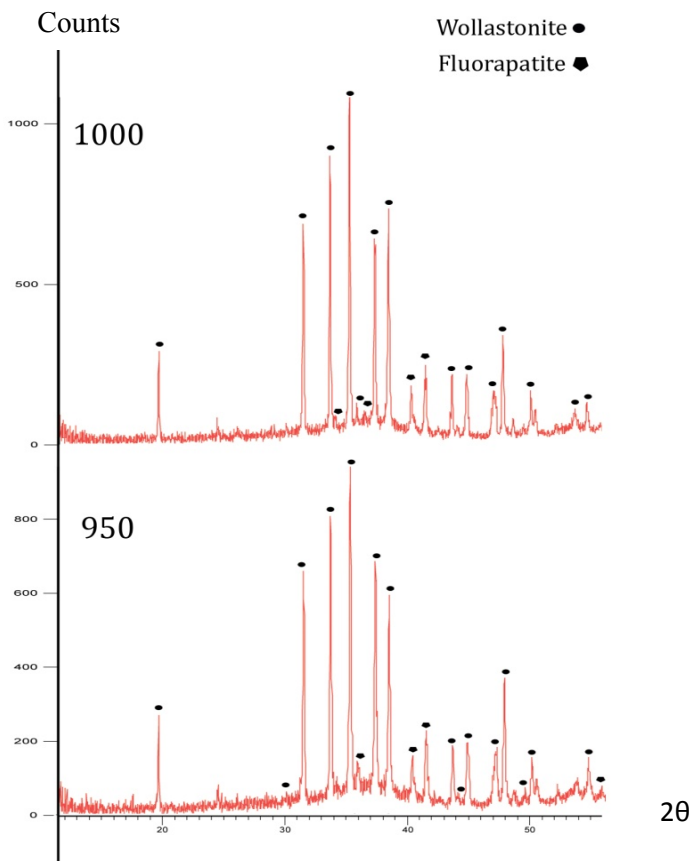
دمای تبلور ($^{\circ}\text{C}$)					دمای جوانه‌زنی ($^{\circ}\text{C}$)	T_d ($^{\circ}\text{C}$)	T_g ($^{\circ}\text{C}$)	کد نمونه
-	-	1088	912	855	672	685	658	L_1
-	1132	983	968	864	667	688	646	L_2
-	1064	1053	956	895	698	715	680	L_3
-	-	-	1000	950	723	746	699	L_4
1160	1071	1065	929	877	674	693	654	L_5



شکل ۳ طرح پراش اشعه X مربوط به نمونه L₂ در دمای ۸۶۴ °C، ۹۶۴ °C، ۹۸۳ °C و ۱۱۳۲ °C



شکل ۴ طرح پراش اشعه X مربوط به نمونه‌ی L₃ در دماهای ۸۹۵ °C و ۱۰۵۳ °C، ۹۵۶ °C و ۱۰۶۴ °C

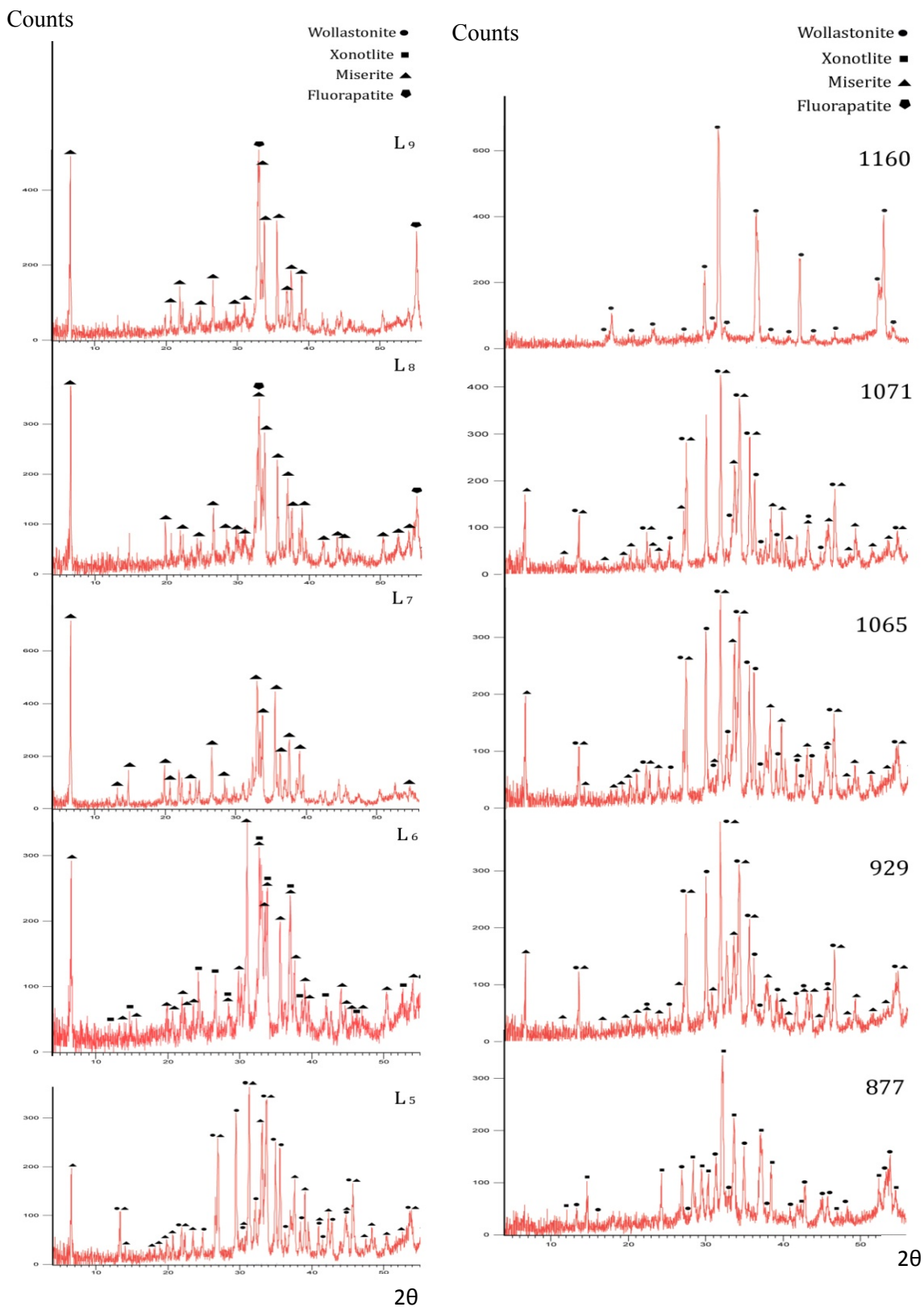


شکل ۵ طرح پراش اشعه X مربوط به نمونه‌ی L₄ در دماهای ۹۵۰ و ۱۰۰۰ °C

است. در نمونه‌های L₈ و L₉ که میزان فلوئر باقی‌مانده در شیشه به ترتیب ۶/۳ و ۸/۴ درصد است، فاز فلوریت در کنار فاز میسریت مشاهده می‌شود. به‌نظر می‌رسد که با افزایش درصد فلوئر، میزان فاز فلوریت نیز افزایش یافته است.

در شکل (۸-الف و ب)، تصویرهای میکروسکپ الکترونی رو بشی از سطح شکست نمونه‌ی L₇ که در دمای ۱۰۰۰ °C عملیات حرارتی شده است، در دو بزرگنمایی مختلف نشان داده شده‌اند. همان‌گونه که مشاهده می‌شود، ریزساختار این ترکیب به‌شكل میله‌های در هم تنیده به قطر ۵ μm و طول حدود ۶۰ μm است که در یکدیگر کاملاً قفل شده‌اند. این ریزساختار استحکام مکانیکی ترکیب را بالا می‌برد [10].

طرح‌های پراش اشعه X برای نمونه‌های L₅ و L₆ در شکل (۷) نشان داده شده‌اند. این نمونه‌ها به مدت دو ساعت در دمای ۷۵۰ °C تحت جوانه‌زنی قرار گرفته و پس از آن، به مدت ۴ ساعت در دمای ۱۰۰۰ °C عملیات حرارتی شده‌اند. همان‌گونه که مشاهده می‌شود، در نمونه‌ی L₅ که میزان فلوئر باقی‌مانده در شیشه ۱/۶ درصد است، فازهای ولستونیت و میسریت مشاهده می‌شوند. در نمونه‌ی L₆ با افزایش میزان فلوئر به ۳/۶ درصد، فازهای میسریت و زنوتیلیت مشاهده می‌شوند. در این نمونه، میزان میسریت نسبت به نمونه‌ی L₅ افزایش یافته است. میسریت تقریباً تنها فاز موجود در نمونه‌ی L₇ است، و فازهای دیگر به مقادیر کم مشاهده می‌شوند. برای این نمونه، میزان فلوئر باقی‌مانده در شیشه ۴/۷۷ درصد



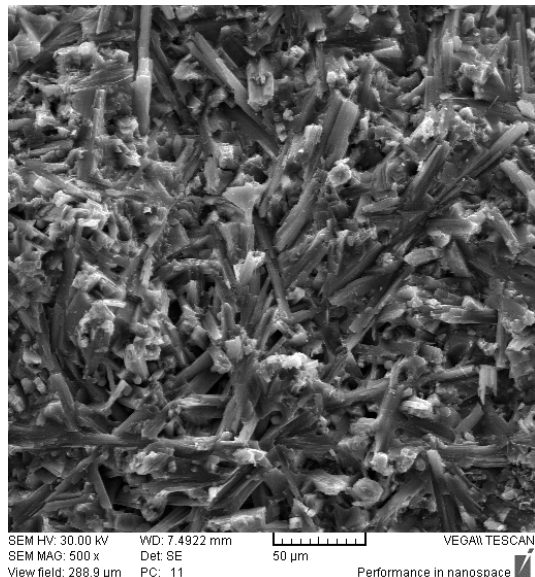
شکل ۷ طرح پراش اشعه X مربوط به نمونه‌های L₅ تا L₉ در ۱۰۰۰ °C

شکل ۶ طرح پراش اشعه X مربوط به نمونه L₅ در دماهای ۸۷۷ °C، ۹۲۹ °C، ۱۰۶۵ °C، ۱۰۷۱ °C و ۱۱۶۰ °C

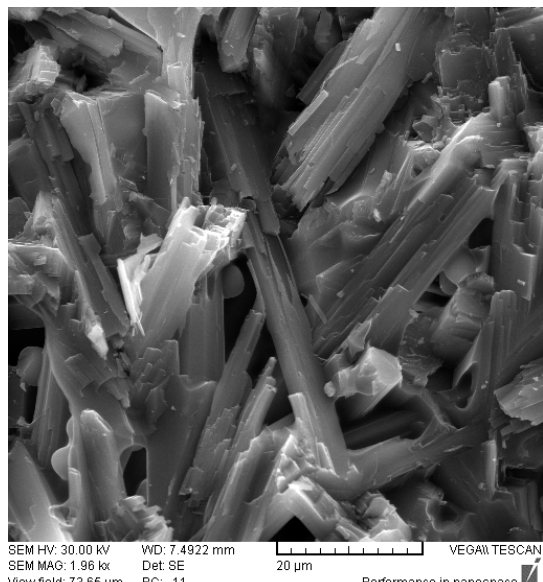
بررسی ترکیب شیمیایی کانی میسریت نشان می‌دهد که ناخالصی‌های متعددی به صورت محلول جامد در آن وجود دارند [4]. به همین دلیل، حضور افزودنی‌های مختلف در آن و تشکیل محلول جامد مورد توجه قرار گرفت. با تشکیل محلول جامد و جای گزینی P^{+5} به جای Si^{+4} ، ترکیب L_2 ساخته شد. نتایج بررسی پراش اشعه X مربوط به این ترکیب در دماهای $864^{\circ}C$, $968^{\circ}C$, $983^{\circ}C$ و $1132^{\circ}C$ نشان دادند که فاز میسریت در هیچ‌یک از این دماها تشکیل نشده است. با این حال، نکته‌ی قابل توجه در این حالت تشکیل فاز فلوئورآپاتیت در کنار فازهای ولستونیت و زونولیت است. این فاز از قابلیت زیست سازگاری بالایی برخوردار است [12,11].

در کانی میسریت، یون‌های Ce^{3+} , Y^{3+} , Nd^{3+} و Ca^{2+} در شبکه‌ی بلوری شده و تشکیل محلول جامد می‌دهند [4]. برای ایجاد محلول جامد در ساختمان بلوری میسریت، از ۲ درصد CeO_2 استفاده شد، و به این ترتیب ترکیب L_3 ساخته شد. پس از عملیات حرارتی در دمای $956^{\circ}C$ ، فاز میسریت در این ترکیب تشکیل شد، اما میزان تشکیل آن کم بود و هنوز فاز اصلی محسوب نمی‌شد. انجام عملیات حرارتی بر روی ترکیب L_4 در دماهای $950^{\circ}C$ و $1000^{\circ}C$ نشان داد که حضور P_2O_5 در کنار CeO_2 مانع از تشکیل فاز میسریت می‌شود، و ولستونیت و فویلیت فازهای پایدار در این ترکیب هستند.

با توجه به نقش محلول جامد CeO_2 در تشکیل فاز میسریت، تلاش شد تا میزان این جای گزینی افزایش یابد. برای این منظور، $0/6$ درصد Al_2O_3 به ترکیب L_3 اضافه شد. با توجه به شعاع کاتیون‌های Al^{3+} و Si^{4+} و بار الکتریکی آن‌ها، در شبکه جای گزینی Al^{3+} به جای Si^{4+} رخ می‌دهد. این باعث می‌شود تا مقدار بیشتری Ce^{3+} به جای Ca^{2+}



(الف)



(ب)

شکل ۸ تصویرهای میکروسکوپ الکترونی روبیشی از نمونه‌ی L_7 در دمای $1000^{\circ}C$ با دو بزرگنمایی مختلف

با توجه به طرح‌های پراش اشعه X مربوط به نمونه‌ی L_1 در دماهای $855^{\circ}C$, $912^{\circ}C$ و $1088^{\circ}C$ (شکل (۲)), با آنکه این ترکیب بر پایه‌ی میسریت در نظر گرفته شده است، اثری از تشکیل فاز میسریت در آن مشاهده نمی‌شود.

به دست می‌آید که در ترکیب پایه از ۲ درصد CeO_2 به جای CaO ، و ۲ درصد B_2O_3 و ۶/۶ درصد Al_2O_3 به جای SiO_2 استفاده شود. این در حالی باید باشد که میزان فلوئر باقی‌مانده در شیشه ۴/۷ درصد باشد. این نتیجه‌ای است که برای اولین بار در این تحقیق به دست آمده است.

نتیجه‌گیری

- سنتز شیشه سرامیک میسریتی تنها با استفاده از افزودنی‌های مناسب امکان‌پذیر شد.
- افزودن اکسید سریم (CeO_2) نقش مهمی در تشکیل فاز میسریت داشت، اما نمی‌توان آن را بدون استفاده از افزودنی‌های مکمل فاز اصلی به حساب آورد.
- افزودن ۲ درصد P_2O_5 به ترکیب پایه‌ی میسریت منجر به تشکیل فاز فلوئورآپاتیت شد.
- افزودن ۲ درصد P_2O_5 همراه با ۲ درصد CeO_2 در ترکیب پایه‌ی میسریت، مانع از تشکیل فاز میسریت شد، اما تشکیل فاز فلوئورآپاتیت را آسان‌تر کرد.
- افزودن Al_2O_3 و B_2O_3 همراه با CeO_2 به ترکیب میسریت، منجر به ایجاد فاز میسریت شد. میزان این فاز بستگی به درصد فلوئر موجود در ترکیب داشت، به‌گونه‌ای که با ۴/۷ درصد فلوئر باقی‌مانده در شیشه، ترکیب تقریباً تک فاز متشكل از میسریت به دست آمد.
- ریزساختار میله‌ای شکل و در هم تنیده میسریت نشان از استحکام مکانیکی و چرمگی بالای محصول داشت، و به نظر می‌رسید که بتوان از آن در کاربردهای با استحکام مکانیکی و چرمگی بالا استفاده کرد.

جای‌گزین شود. این افزایش میزان جای‌گزینی منجر به افزایش فاز میسریت می‌شود [7]. افزودن Al_2O_3 از نقطه نظر کیتیکی باعث افزایش ویسکوزیته شده و تبلور از حالت بی‌شکل را با مشکل روپرتو می‌کند [7]. برای رفع این مشکل و کاهش ویسکوزیته، میزان ۲ درصد B_2O_3 به ترکیب اضافه شد و به این ترتیب، ترکیب L_5 پیشنهاد شد. نتایج بررسی پراش اشعه X برای این نمونه در دمای 105°C (شکل ۶) نشان می‌دهد که فازهای میسریت و ولاستونیت در این دما پایدارند، اما میسریت هنوز فاز اصلی محسوب نمی‌شود.

در فرایند تشکیل فاز میسریت به روش شیشه سرامیک با انجام عملیات حرارتی، ابتدا جوانه‌های فلورین در فاز شیشه تشکیل می‌شوند. این جوانه‌ها در تشکیل فاز زنوتلیت نقش اساسی ایفا می‌کنند. این فاز در دماهای بالاتر به میسریت تبدیل می‌شود [7]. بر این اساس، ترکیب L_5 با درصدهای مختلف فلورین (مطابق با نتایج موجود در جدول ۲) پیشنهاد و مورد بررسی قرار گرفت.

نتایج بررسی‌های پراش اشعه X مربوط به ترکیب‌های L_5 تا L_7 (شکل ۷) نشان می‌دهند که با افزایش میزان فلوئر باقی‌مانده در شیشه، میزان تشکیل فاز میسریت افزایش می‌یابد، به‌گونه‌ای که فاز میسریت در نمونه‌ی L_7 با ۴/۷۷ درصد فلوئر بیشترین میزان را داشته و فاز اصلی به حساب می‌آید. با افزایش میزان فلوئر بیش از مقدار فوق، فاز فلوریت در کنار فاز میسریت تشکیل می‌شود. به همین دلیل است که در نمونه‌ی L_9 ، میزان قابل ملاحظه‌ای از فاز فلوریت در کنار میسریت تشکیل شده است. نتایج این تحقیق نشان می‌دهند که با بررسی ترکیب‌های مختلف موجود، بهترین محصول با بالاترین میزان میسریت هنگامی

مراجع

1. Beal, G. H., "Chain Silicate Glass-Ceramics", *J. Non-crystalline Solids.*, 129, pp. 163-173, (1991).

2. Scott, J. D., "Crystal Structure of Miserite, A Zoltai Type 5 Structure", *J. Canadian Mineralogist.*, 14, pp. 515-529, (1976).
3. Rozhdsetvenshkaya, I. v., and Evokimov, M. D., "Refinement of Miserite Crystal Structure ($K_{1.29} \square_{0.21}$) $[Ca_{5.51}M_{0.49}^{3+}]$ $(Si_6(O, OH)_{15})(Si_2O_7)(F, OH)_20.25H_2O$
4. (M=Y , REE, Fe, Ti , Mn, Mg) from the Dare-pioz Occurrence, Pamir, Tajikstan" , *J. Doklay Earth Sciences.*, 406, pp.74-78, (2006).
5. Reguire, E. P., and Chakhmo Uradian, A. R., "Chemical Composition of Miserite," *J. Canadian Mineralogist.*, 37, pp.1369-1373, (1999).
6. Miyawaki, R., and Nakai, I., "crystal Chemical Aspects of Rare-Earth Minerals", *Rare Earth Minerals: Chemistry. Origin. And Ore Deposites.*, Chapman and Hall. London., pp.21-40, (1996).
7. Chose, S., and Wan, C., "Agrellite. $Na(Ca,RE)_2Si_4O_{10}F$: A Layer Structure With Silicate Tubes", *J. American Mineral.*, 64, pp.563-72, (1979).
8. Pinckney, L. R., and Beal, G. H., "Strong Sintered Miserite Glass- Ceramics", *J. American Ceramic Society.*, 82, pp.2523-2528, (1999).
9. Zhang, H., and Mitchell, B.S., "A Method for Determining Crystallization Kinetic Parameters From One Nonisothermal Calorimetric Experiment", *J. Material Research.*, 15 (4), pp.1000-1007, (2000).
10. Kim, H.S., Rawlings, R.D, and Rogers, P.S., "Quantitative Determination of Crystalline and Amorphous Phase in Glass-Ceramics by X-Ray Diffraction Analysis", *J. British Ceram.*, 88, pp.21-25, (1989).
11. Holand, W, and Beal, G, "Glass Ceramic Technology", *American Ceramic Society Press.*, pp.213-216, (2002).
12. Hulbert, S. F., Bokros, J. C, and Hench, L., "Ceramics in Clinical Application", *Past, Present and Future*, Edited by Vincenzini P. Elsevier Pres, Amsterdam. Netherlands., pp. 87-88, (1998).
13. Jarcho, A., "Process for the Preparation of Hydroxy Apatite", *US Patent.*, 5, pp. 405-436, (1995).